ISSN 0716-2073
Vol. 149 N° 09- 2026

Boletín Climatológico

Chile



Dirección Meteorológica de Chile
Subdepartamento de Climatología y Meteorología Aplicada
Sección Climatología



Elaboración: Angélica Guzmán Manríquez & Eliana Moath Rodríguez

Edición: Juan Crespo Fuentes

Elaborado y editado por la Sección de Climatología de la Dirección Meteorológica de Chile

Portada: Puerto Varas, Región de Los Lagos

Dirección Meteorológica de Chile - DMC
Av. Portales 3450 Estación Central; Casilla 140, Sucursal Paseo Estación Central Santiago,
Teléfono: 56 2 24364501

Correo Postal Casilla 140. Sucursal Matucana. Estación Central

web: https://www.meteochile.gob.cl/PortalDMC-web/index.xhtml

www.facebook.com/meteochiledmc

https://twitter.com/meteochile_dmc

https://www.instagram.com/meteochile/

Boletín Climatológico

La edición del Boletín Climatológico de la Dirección Meteorológica de Chile (www.meteochile.gob.cl), nace de los requerimientos de información climática necesaria para la planificación de las diversas actividades del quehacer nacional, así como de la comunidad en general, contribuyendo además al entendimiento del comportamiento mensual de las variables climatológicas.

El resumen climatológico entrega una visión general del comportamiento climático del mes.

La primera sección, analiza la descripción sinóptica general de la atmósfera en niveles medios y superficie. A continuación, se presenta el comportamiento mensual de las variables de temperatura media, máxima y mínima, junto con el comportamiento pluviométrico y el índice de radiación ultravioleta del país.

En una sección aparte, se relatan los fenómenos meteorológicos que generaron registros de valores climáticos significativos y anormales, entregándose una breve descripción del evento.

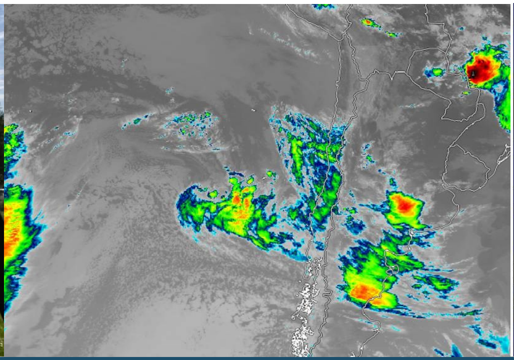
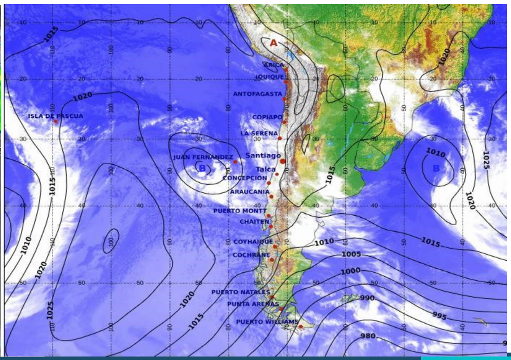
Como anexo, se incluye una tabla climatológica mensual de las principales estaciones meteorológicas del país, con los valores de las variables de precipitación, temperatura media, máxima y mínima, que la Dirección Meteorológica de Chile (www.meteochile.gob.cl), pone a disposición de la comunidad. a modo de proveer información climática y para obtener un mejor beneficio de los recursos climáticos del país.



DIRECCIÓN METEOROLÓGICA
METEOCHILE

Contenidos

1. Resumen Ejecutivo …………………………………………………………………………P.7
2. Esquema Sinóptico ………………………………………………………………………P.8
3. Condición Media Mensual:
   - Temperatura media…………………………………………………………………P.10
   - Temperatura máxima media………………………………………………………P.12
   - Temperatura mínima media…………………………………………………………P.14
   - Precipitación mensual ……………………………………………………………P.16
4. Radiación Ultravioleta………………………………………………………………P.18
5. Ola de Frío………………………………………………………………………………P.19
6. Ola de Calor……………………………………………………………………………P.20
7. Evento Extremo…………………………………………………………………………P.21
5. Glosario…………………………………………………………………………………P.22
7. Abreviaturas……………………………………………………………………………P.24
8. Anexos……………………………………………………………………………………P.25
   - Datos de Temperatura mensual…………………………………………………P.26
   - Datos de Precipitación mensual…………………………………………………P.27



DIRECCIÓN METEOROLÓGICA
METEOCHILE

Resumen Ejecutivo

Durante septiembre de 2026, las temperaturas medias se situaron por sobre los valores normales entre las zonas norte y sur del país, con anomalías que fluctuaron entre 0.6 °C y 3.6 °C. Destaca la estación de Iquique, con una anomalía positiva de 3.6 °C, siendo el valor más alto registrado.

En cuanto a las temperaturas máximas, predominaron las anomalías positivas entre las zonas norte y sur del país. Los valores fluctuaron entre 0.6 °C y 3.5 °C. La mayor anomalía positiva se registró, nuevamente, en la estación de Iquique, con 3.5 °C. Por el contrario, la estación de Punta Arenas presentó una anomalía negativa de -0.6 °C.

Respecto de las temperaturas mínimas, predominaron las anomalías positivas entre las zonas norte y centro-sur del país. Los valores fluctuaron entre 1.0 °C y 3.7 °C. La mayor anomalía se registró en la estación de Iquique, con un valor de 3.7 °C. En cambio, las estaciones de Coyhaique y Balmaceda registraron un valor bajo lo normal de -1.0 °C.

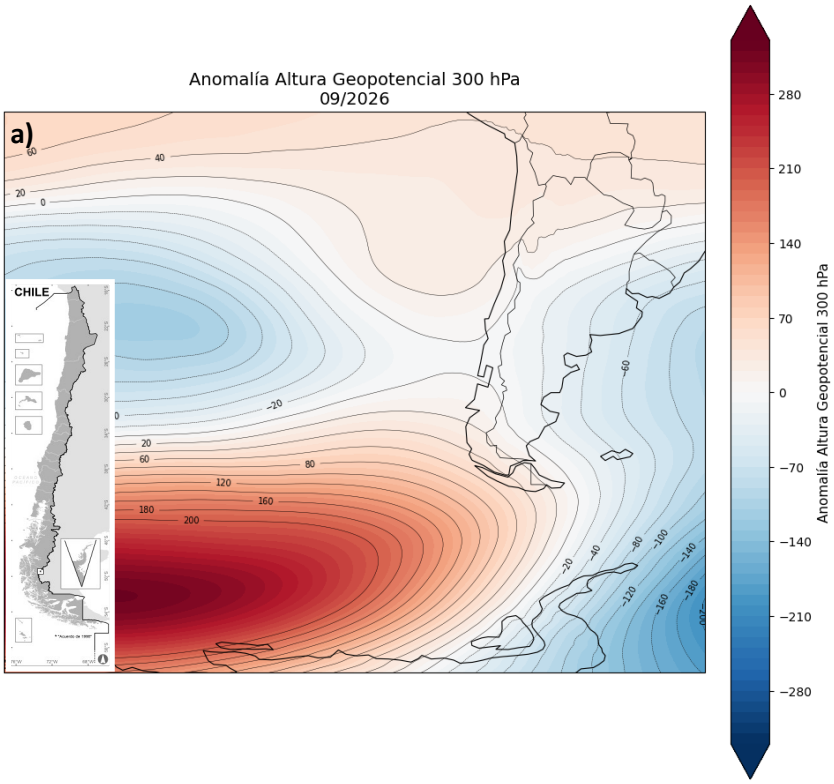
En cuanto a las precipitaciones, las estaciones de Arica, Calama y Concepción registraron un superávit pluviométrico mayor al 100 %. En contraste, entre Iquique y Curicó se observaron déficits de precipitación que fluctuaron entre el 67 % y el 100 %.

En cuanto al índice UV, las estaciones de San Pedro de Atacama y El Tololo registraron valores promedio dentro de la categoría Muy Alto, con índices entre 8 y 10 unidades.

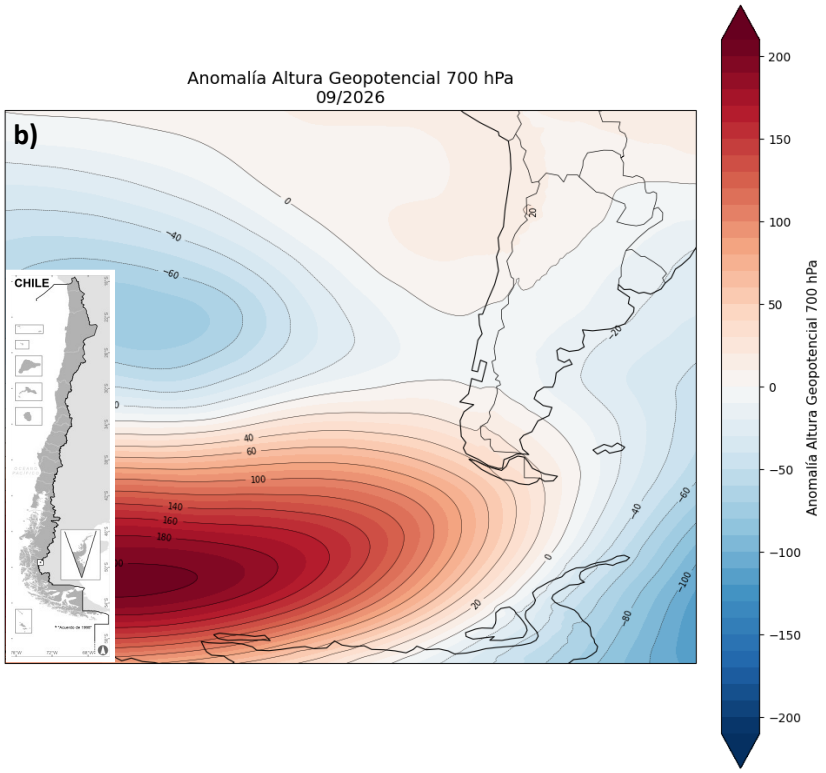
Con respecto a las Olas de Frío (OF), estas predominaron en las zonas sur y austral del país. Las estaciones de Mocopulli y B. O'Higgins presentaron dos eventos cada una. En Mocopulli, las temperaturas mínimas extremas promedio fluctuaron entre −4 °C y 0 °C, mientras que en B. O'Higgins oscilaron entre −24 °C y −20 °C.

Con respecto a las Olas de Calor (OC), estas se registraron en las zonas norte, centro y sur del país. En particular, las estaciones de Arica e Iquique presentaron un evento cada una, ambos con una duración de 30 días y temperaturas máximas extremas promedio que fluctuaron entre 20 °C y 24 °C.

Esquema Sinóptico



Durante septiembre de 2026, en el nivel de 300 hPa (aproximadamente 9.000 m de altitud; Fig. 1a), se observaron valores superiores a lo normal entre las regiones de Arica y Parinacota y Coquimbo, asociadas a condiciones de mayor estabilidad atmosférica. Esta misma condición se presentó en el extremo sur del país, aunque con menor intensidad en el área circundante al Mar de Amundsen. En contraste, desde la Región de Valparaíso hasta la Región de Aysén predominaron anomalías negativas, al igual que en la península Antártica, lo que favoreció condiciones de mayor inestabilidad atmosférica en las zonas afectadas.

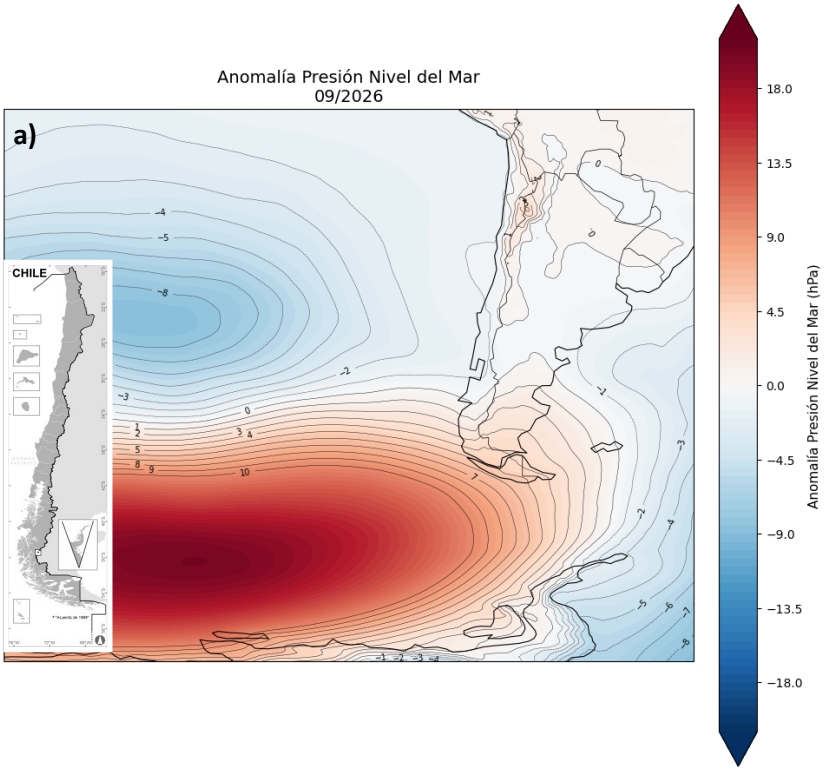


Durante septiembre de 2026, la anomalía de altura geopotencial en el nivel de 700 hPa (aproximadamente 3.000 m de altitud; Fig. 1b) presentó valores positivos desde las regiones de Arica y Parinacota hasta Ñuble. Esta misma condición se observó en las regiones de Aysén y Magallanes y la Antártica Chilena, así como en las áreas cercanas al mar de Amundsen. En cambio, predominaron anomalías negativas entre las regiones del Biobío y Los Lagos, asociadas a condiciones de mayor inestabilidad atmosférica en las zonas circundantes. Una situación similar se presentó en la Península Antártica, donde también se favorecieron condiciones de mayor inestabilidad atmosférica en las áreas cercanas.

Figura 1. a) Compuesto de anomalías de altura geopotencial en 300 hPa (apróx. 9.000 metros sobre el nivel del mar) y b) Compuesto de anomalías de altura geopotencial en 700 hPa (apróx. 3.000 metros sobre el nivel del mar) para septiembre de 2026. Anomalías positivas (colores rojizos) indican condiciones anticiclónicas reforzadas y anomalías negativas (colores azulados) muestran condiciones ciclónicas reforzadas. Fuente de datos: cds.climate.copernicus.eu. ERA 5.

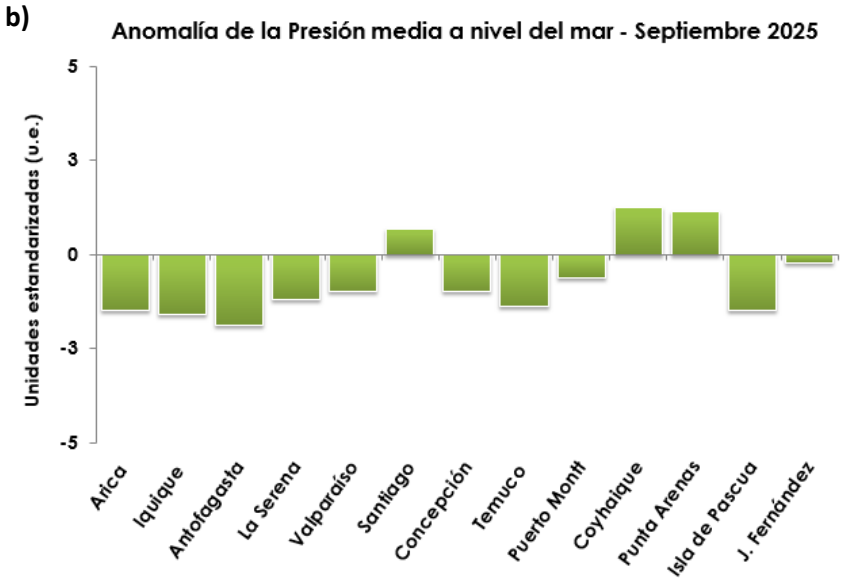
Nota: Las anomalías presentadas se calculan a partir de los valores climatológicos para el periodo 1991-2020.

Esquema Sinóptico



Durante septiembre de 2026, las anomalías medias de presión a nivel del mar (Fig. 2a) fueron predominantemente negativas en el sector costero, desde la Región de Arica y Parinacota hasta la Región de Aysén, asociadas a condiciones de mayor inestabilidad atmosférica en las áreas circundantes. En contraste, en los sectores precordilleranos y cordilleranos hasta la Región del Biobío predominaron anomalías positivas, vinculadas a condiciones relativamente más estables.

Por otra parte, se observaron anomalías negativas entre las regiones de La Araucanía y Aysén, mientras que en la Región de Magallanes y de la Antártica Chilena predominaron anomalías positivas, con mayor intensidad en el área circundante a los mares de Amundsen y Bellingshausen.



Durante septiembre de 2026, las anomalías estandarizadas de la presión media a nivel del mar (Fig. 2b) fueron predominantemente negativas, con valores entre −0.6 y −1.9 u.e. Destacaron las estaciones de Antofagasta e Iquique, con anomalías de −1.9 y −1.6 u.e., respectivamente, seguidas de Arica e Isla de Pascua, ambas con −1.5 u.e. Por el contrario, las estaciones de Coyhaique y Punta Arenas registraron anomalías positivas de 1.2 y 1.1 u.e., respectivamente.

Para más detalles, ver los anexos correspondientes.

Figura 2. a) Compuesto de anomalías de presión sobre el nivel medio del mar (hPa) de septiembre de 2026. Anomalías positivas (colores rojizos) indican altas presiones y anomalías negativas (colores azulados), indican bajas presiones. b) Anomalía estandarizada de la presión a nivel medio del mar para septiembre de 2026. Fuente de datos: NCEP/NCAR *Reanalysis Project* y DMC.

Nota: Las anomalías presentadas se calculan a partir de los valores climatológicos para el periodo 1991-2020.

Temperatura Media Mensual

Durante septiembre de 2026 (Fig. 3), las temperaturas medias registradas en las planicies litorales, el farellón costero y la cordillera de la Costa, entre las regiones de Arica y Parinacota y Atacama, fueron inferiores a 23 °C, al igual que en los sectores interiores. Entre las regiones de Coquimbo y O'Higgins, los valores se mantuvieron por debajo de 15 °C, tanto en el sector costero como en los valles interiores. Más al sur, entre las regiones del Maule y Los Lagos, las temperaturas medias fueron inferiores a 10 °C en ambos sectores. Finalmente, en las regiones de Aysén y Magallanes y la Antártica Chilena, la temperatura media fluctuó entre 2 y 5 °C.

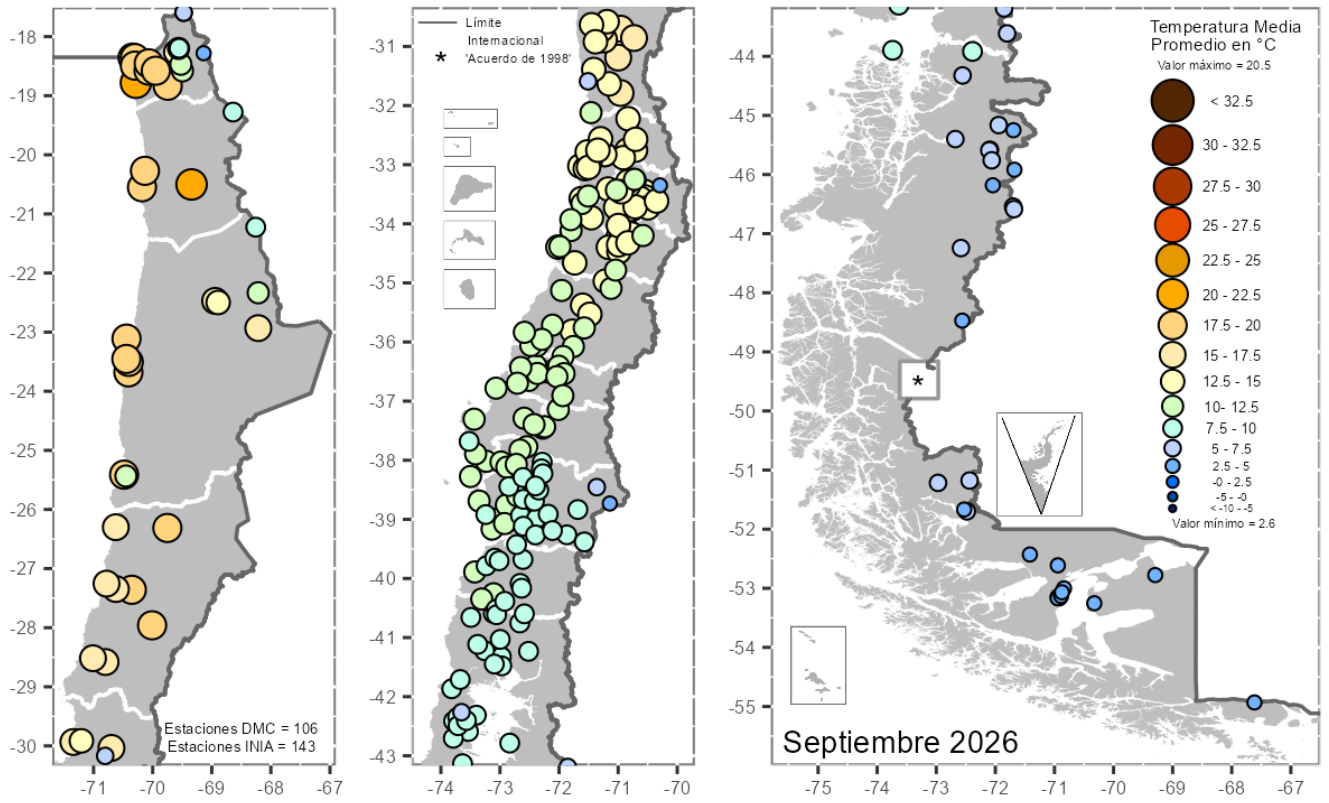


Figura 3. Temperatura media de septiembre de 2026. La información corresponde a valores registrados por 249 estaciones meteorológicas y agrometeorológicas. Fuente: DMC e INIA.

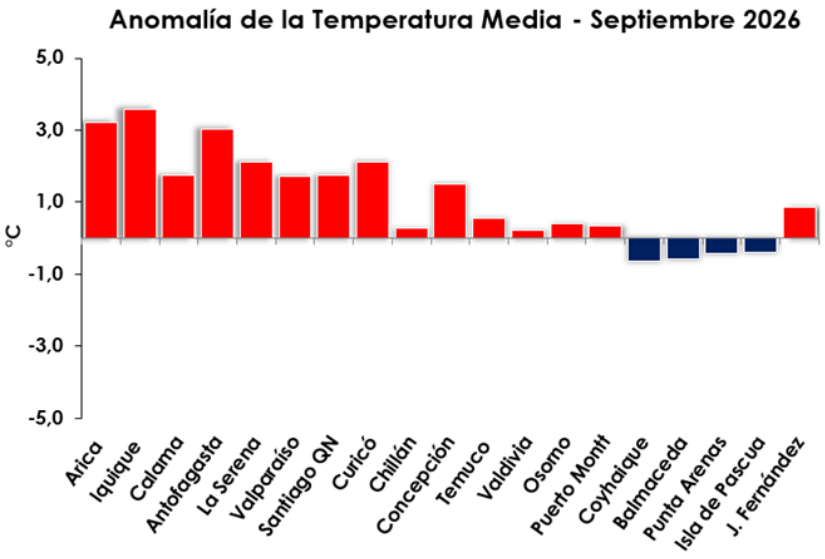


Figura 4. Anomalía de temperatura media de septiembre de 2026. Las barras rojas representan anomalías positivas y las barras azules muestran anomalías negativas de las principales estaciones climatológicas. Fuente: DMC y Servicio Meteorológico de la Armada de Chile.

La figura 4 muestra las anomalías de temperatura media ocurridas en septiembre de 2026.

Durante septiembre de 2026, las temperaturas medias presentaron anomalías positivas desde Arica hasta Temuco, con valores que fluctuaron entre 0.6 °C y 3.6 °C. La anomalía positiva más alta registrada fue Iquique, con 3.6 °C. Le siguen Arica y Antofagasta con 3.2 °C y 3.0 °C, respectivamente. En contraste, Coyhaique y Balmaceda presentaron anomalías negativas de −0.7 °C y −0.6 °C, cada una.

Los valores detallados pueden consultarse en la Tabla 1.

Tabla 1. Temperatura media durante septiembre de 2026 para las principales estaciones meteorológicas del país.

	Temperatura Media (°C)		
Estaciones	Septiembre	Promedio	Anom. (°C)
Arica	20,3	17,1	3,2
Iquique	20,1	16,5	3,6
Calama	14,1	12,3	1,7
Antofagasta	18,2	15,2	3,0
La Serena	14,8	12,6	2,1
Valparaíso	14,7	13,0	1,7
Santiago QN	15,2	13,5	1,7
Curicó	14,0	11,8	2,1
Chillán	11,4	11,1	0,3
Concepción	12,4	10,9	1,5
Temuco	10,5	9,9	0,6
Valdivia	9,7	9,4	0,2
Osorno	9,5	9,0	0,4
Puerto Montt	8,8	8,5	0,3
Coyhaique	6,2	6,9	-0,7
Balmaceda	4,7	5,2	-0,6
Punta Arenas	4,4	4,8	-0,4
Isla de Pascua	18,3	18,7	-0,4
J. Fernández	13,6	12,7	0,9

La tabla 1 muestra las temperaturas medias (°C) de las principales estaciones meteorológicas del país, señalando el valor promedio del mes, el valor normal o climatológico (promedio) y las anomalías que se presentaron durante septiembre de 2026.

La estación de Iquique presentó una anomalía positiva de 3.6 °C, con una temperatura media mensual de 20.1 °C, superior a su normal climatológica de 16.5 °C. De manera similar, Concepción registró una anomalía positiva de 1.5 °C, alcanzando una temperatura media mensual de 12.4 °C, por sobre su normal de 10.9 °C. Por otra parte, Coyhaique presentó una anomalía negativa de −0.7 °C, con una temperatura media mensual de 6.2 °C, inferior a su normal climatológica de 6.9 °C.

Nota: Las anomalías presentadas son parte de valores climatológicos para el periodo 1991-2020.

Temperatura Máxima Mensual

Durante septiembre de 2026 (Fig. 5), las temperaturas máximas promedio registradas entre las regiones de Arica y Parinacota y Valparaíso fueron inferiores a 23 °C en las planicies litorales, el farellón costero y la cordillera de la Costa, mientras que, en los valles interiores no superaron los 25 °C. En las regiones Metropolitana y O'Higgins, las máximas promedio fueron menores a 20 °C, tanto en la cordillera de la Costa como en los valles y las cuencas de Santiago y Rancagua. En las regiones de Los Ríos y Los Lagos, los valores bordearon los 15 °C en los sectores litorales y los valles interiores. Finalmente, entre las regiones de Aysén y Magallanes y de la Antártica Chilena, las temperaturas máximas promedio fluctuaron entre 7 °C y 10 °C en la cordillera patagónica y las pampas magallánicas.

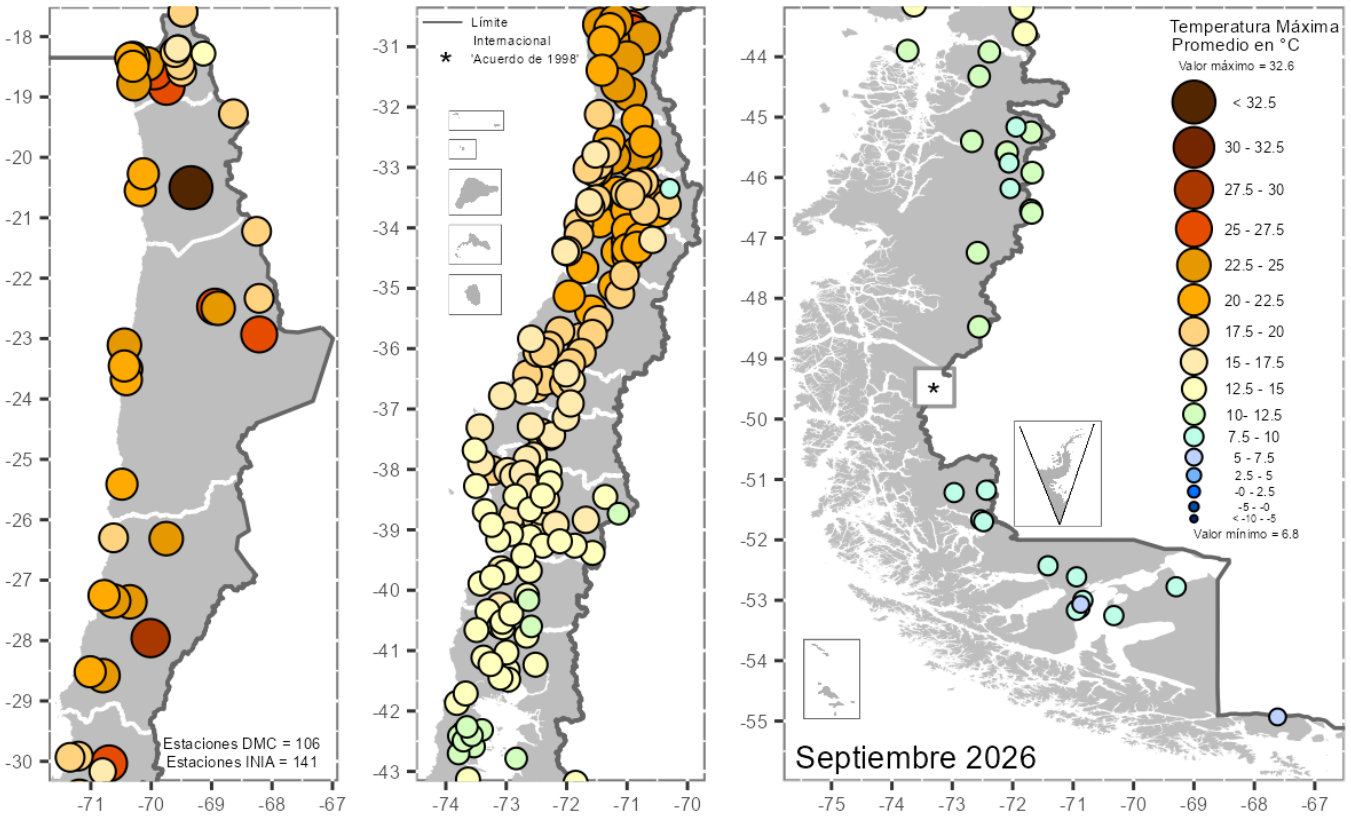


Figura 5. Temperatura máxima de septiembre de 2026. La información corresponde a valores registrados por 247 estaciones meteorológicas y agrometeorológicas. Fuente: DMC e INIA.

La figura 6 presenta las anomalías de temperatura máximas durante el mes de septiembre del 2026.

Durante septiembre de 2026, las temperaturas máximas presentaron un predominio de anomalías positivas entre Arica y Puerto Montt, con valores que fluctuaron entre 0.6 °C y 3.5 °C. La anomalía positiva más significativa se registró en Iquique, con un valor de 3.5 °C, continuando la estación de Arica, con 3.2 °C. Por el contrario, Punta Arenas presentó una anomalía negativa de −0.6 °C, mientras que en el resto de las ciudades las temperaturas máximas se mantuvieron cercanas a sus valores normales.

Para más detalles, ver los anexos correspondientes.

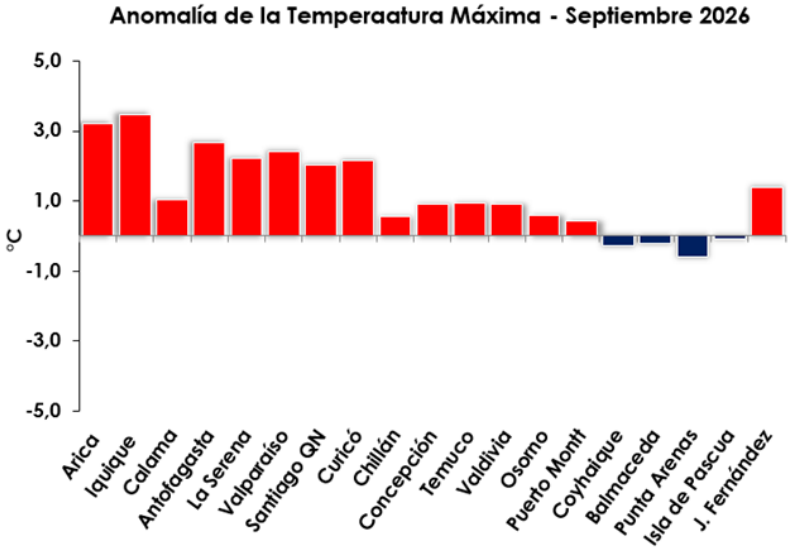


Figura 6. Anomalía de temperatura máxima media de septiembre de 2026. Las barras rojas representan anomalías positivas y las barras azules muestran anomalías negativas de las principales estaciones climatológicas. Fuente: DMC y Servicio Meteorológico de la Armada de Chile.

En la figura 7, muestra la cantidad de días con temperaturas máximas extremas correspondientes a registros superiores al percentil 90, es decir, aquellos que se encuentran dentro del 90 % más alto de la distribución de temperaturas máximas de cada estación meteorológica durante septiembre de 2026.

El gráfico muestra que las estaciones de Arica, Iquique, Antofagasta y Caldera superaron los 20 días con temperaturas máximas extremas. Por el contrario, en la zona austral se contabilizaron 5 días o menos, condición que también se presentó en las estaciones de Calama, Viña del Mar, Rodelillo, Santo Domingo, Quinta Normal, Pudahuel, Puerto Montt e Isla de Pascua

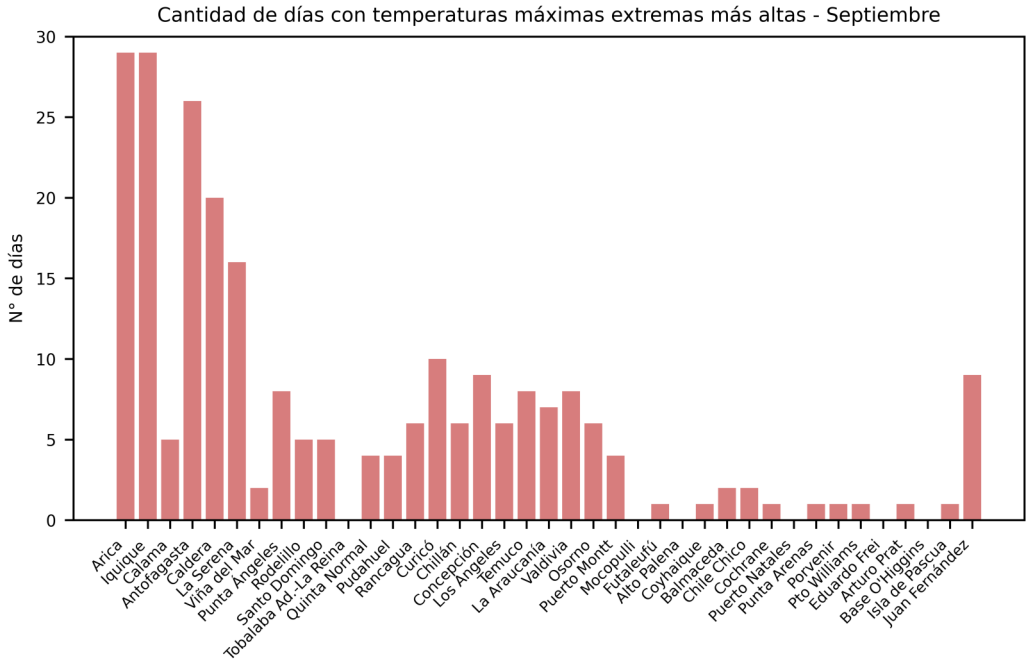


Figura 7. Cantidad de días con temperaturas máximas extremas para cada estación meteorológica del Monitoreo de Ola de Calor, septiembre de 2026. Fuente: Oficina de Servicios Climáticos, DMC.

Temperatura Mínima Mensual

Durante septiembre de 2026 (Fig. 8), las temperaturas mínimas promedio registradas entre las regiones de Arica y Parinacota y Valparaíso fueron inferiores a 20 °C en las planicies litorales, el farellón costero y la cordillera de la Costa, mientras que en los valles interiores fluctuaron entre 5 °C y 10 °C. Más al sur, en las regiones de Los Ríos y Los Lagos, los valores oscilaron entre 2 °C y 5 °C tanto en las planicies litorales como en la cordillera de la Costa y los valles interiores. En la Región de Aysén, las temperaturas mínimas promedio variaron entre 0 °C y 5 °C. Finalmente, en la Región de Magallanes y de la Antártica Chilena, se registraron valores inferiores a 0 °C en la pampa magallánica.

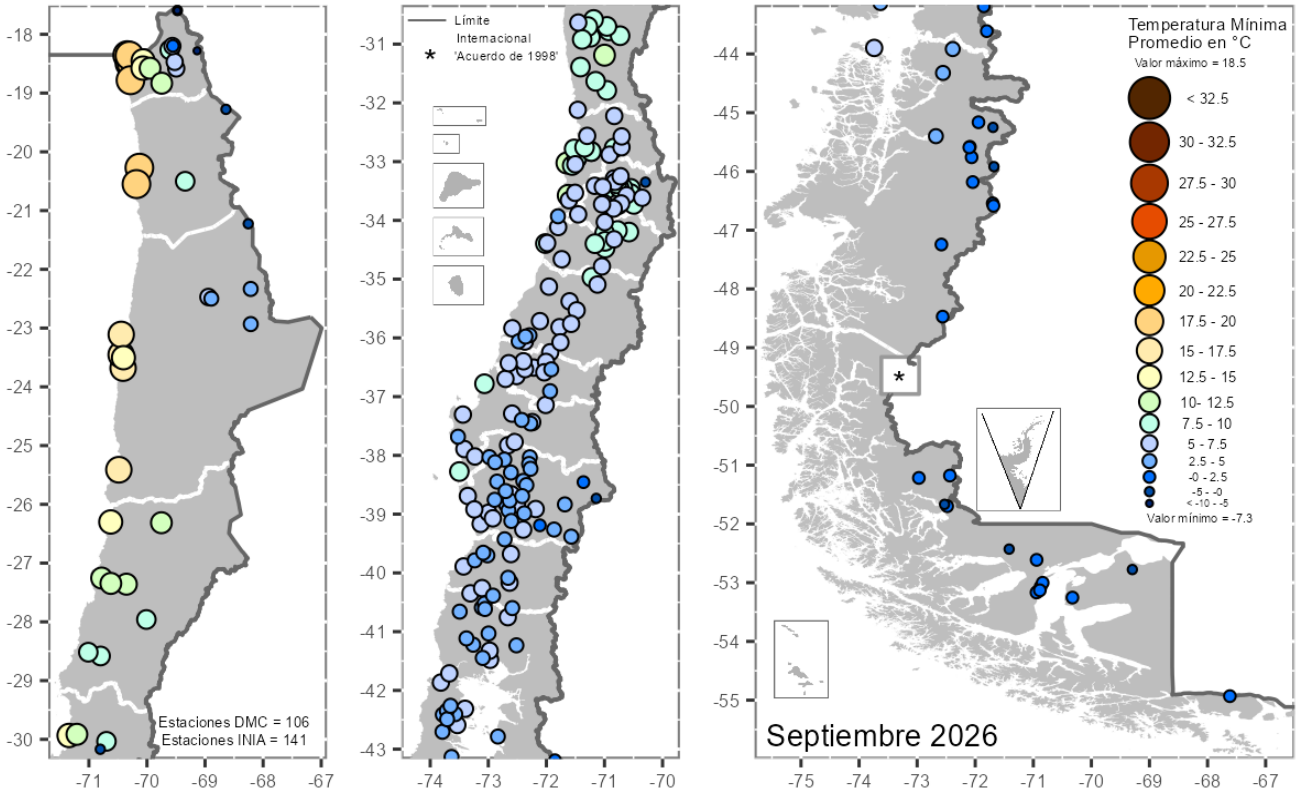


Figura 8. Temperatura mínima media de septiembre de 2026. Corresponde a valores registrados por 247 estaciones meteorológicas y agrometeorológicas. Fuente: DMC e INIA.

La Figura 9 muestra las anomalías de temperatura mínima durante el mes de septiembre del presente año.

Durante septiembre de 2026, las temperaturas mínimas presentaron un predominio de anomalías positivas entre las regiones de Arica y Parinacota y Biobío, con valores que fluctuaron entre 1.0 °C y 3.7 °C. Destacó la estación de Iquique, con anomalía de 3.7 °C, mientras que, en Antofagasta se registró un valor de 3.4 °C y Arica con 3.3 °C. Por el contrario, en la zona austral, Coyhaique y Balmaceda presentaron anomalías negativas cercanas a −1.0 °C.

Para más detalles, ver los anexos correspondientes.

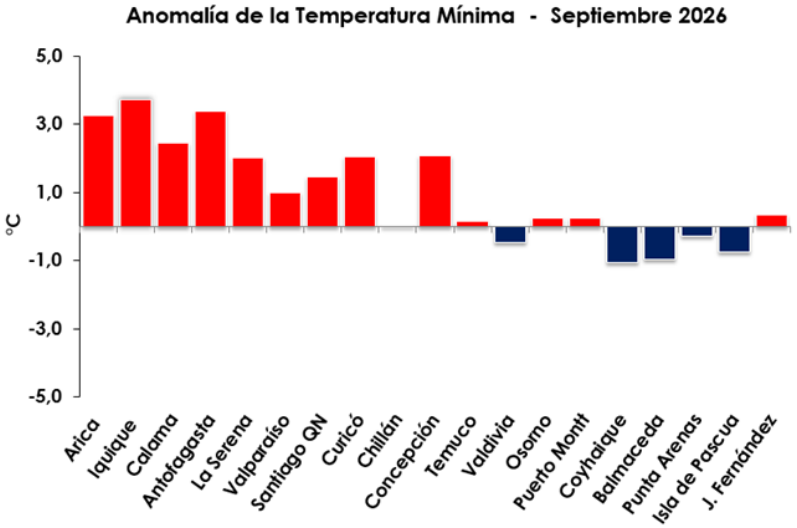


Figura 9. Anomalía de temperatura mínima media de septiembre de 2026. Las barras rojas representan anomalías positivas y las barras azules muestran anomalías negativas de las principales estaciones climatológicas. Fuente: DMC y Servicio Meteorológico de la Armada de Chile.

La Figura 10 muestra la cantidad de días con temperaturas mínimas extremas, correspondientes a registros inferiores al percentil 10, es decir, aquellos que se encuentran dentro del 10 % más bajo de la distribución de temperaturas mínimas de cada estación meteorológica durante septiembre de 2026.

El gráfico indica que las estaciones de Chillán, Los Ángeles, Valdivia, Puerto Montt, Alto Palena, Coyhaique, Balmaceda, Chile Chico, Punta Arenas, E. Frei (Antártica) e Isla de Pascua registraron 5 días o más con temperaturas mínimas extremas.

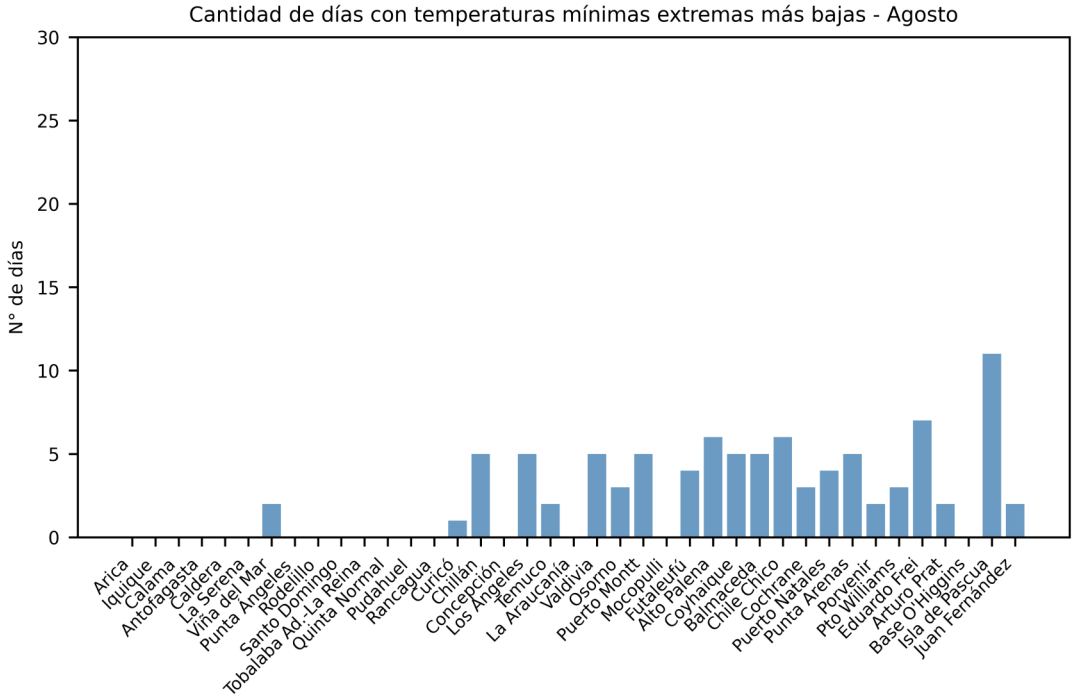


Figura 10. Cantidad de días con temperaturas mínimas extremas para cada estación meteorológica del Monitoreo de Olas de Frío, septiembre de 2026. Fuente: Oficina de Servicios Climáticos, DMC.

Precipitación Mensual

Durante septiembre de 2026 (Fig. 11), las precipitaciones acumuladas más significativas se concentraron en el sector cordillerano de la Región de Valparaíso fluctuaron entre 20 mm y 30 mm, rango similar al registrado en los valles y las cuencas de Santiago y Rancagua, en las regiones Metropolitana y O'Higgins. En la Región del Maule, los montos fueron inferiores a 70 mm tanto en el litoral como en los valles interiores. Entre las regiones de Ñuble y Biobío, los mayores acumulados se concentraron en el litoral, donde oscilaron entre 170 mm y 210 mm, mientras que, en los valles interiores fueron inferiores a 170 mm. En la Región de La Araucanía, las precipitaciones acumuladas en los sectores precordilleranos y cordilleranos no superaron los 300 mm. Por su parte, en la Región de Los Ríos, los montos fueron inferiores a 350 mm en las planicies litorales y a 250 mm en los valles interiores. En la Región de Los Lagos, los acumulados no superaron los 130 mm en los valles; en cambio, en el sector oceánico del archipiélago de Chiloé fueron inferiores a 170 mm. Finalmente, en la Región de Aysén, específicamente en el archipiélago de los Chonos, las precipitaciones fluctuaron entre 210 mm y 250 mm.

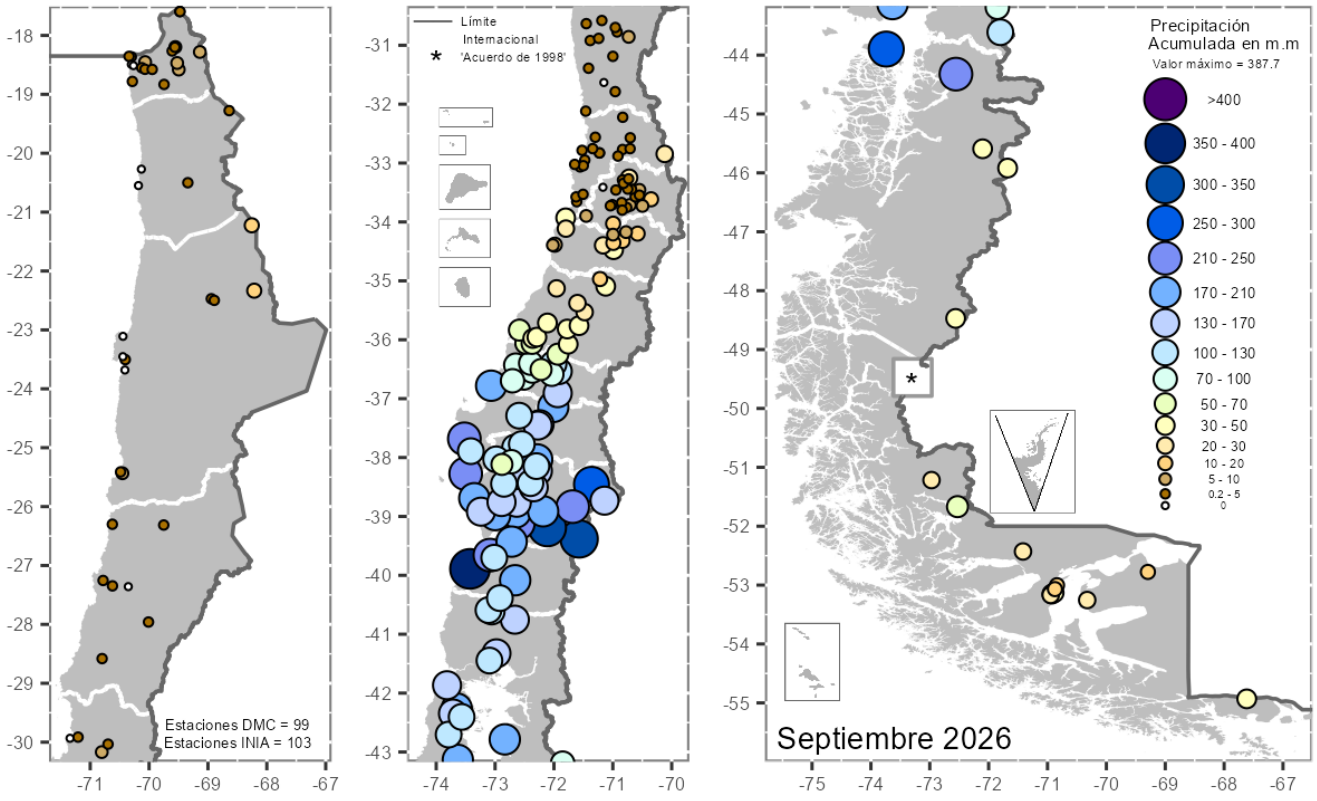


Figura 11. Precipitación acumulada mensual de septiembre de 2026. Información correspondiente a un total de 202 estaciones meteorológicas. Fuente: DMC e INIA.

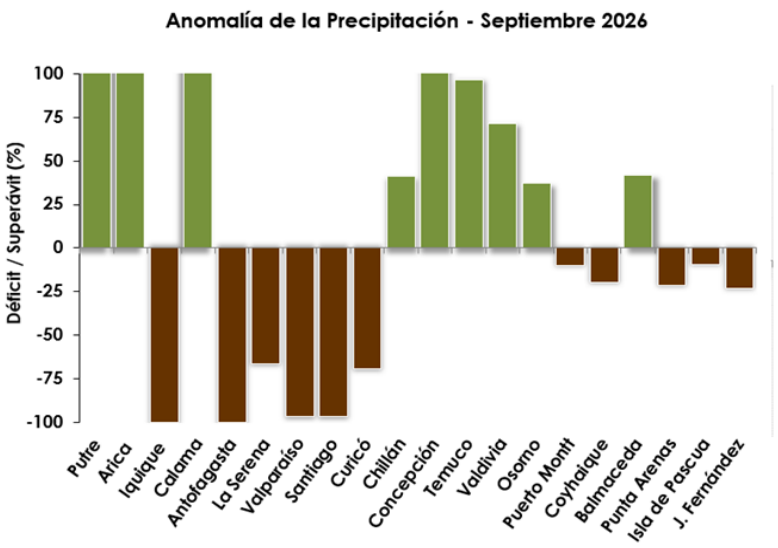


Figura 12. Anomalía de la precipitación (%) para septiembre de 2026. Las columnas de color café representan *déficits* y las columnas de color verde representan *superávits.* Fuente: DMC y SERVIMET.

En la figura 12 se presentan las anomalías de precipitación durante septiembre de 2026.

El gráfico evidencia contrastes en las precipitaciones acumuladas durante septiembre de 2026 entre las distintas localidades del país. Putre, Arica, Calama y Concepción registraron superávits superiores al 100 %. Por el contrario, Temuco, Valdivia y Osorno presentaron excedentes que fluctuaron entre 37 % y 96 %. Por otra parte, varias estaciones del tramo comprendido entre Iquique y Curicó registraron déficits de entre 67 % y 100 %, con las mayores disminuciones porcentuales en Iquique y Antofagasta. En el extremo sur, Puerto Montt, Coyhaique y Punta Arenas presentaron déficits más moderados, que fluctuaron entre 10 % y 22 %.

Para más detalles, ver los anexos correspondientes.

La figura 13 muestra el número de días en que la precipitación fue igual o superior a 0.1 mm en las principales estaciones meteorológicas durante el mes de septiembre de 2026.

El gráfico indica que las estaciones de la zona sur del país concentraron la mayor cantidad de días con precipitación. Destacaron Puerto Montt y Osorno, con 21 y 20 días, respectivamente. Por su parte, Valdivia y Coyhaique registraron 19 y 17 días, mientras que Temuco y Balmaceda alcanzaron 16 días cada una.



Figura 13. Cantidad de días en que se registró precipitación acumulada diaria mayor o igual a 0.1 mm, de las principales estaciones climatológicas para septiembre de 2026. Fuente: DMC.

Índice de Radiación Ultravioleta

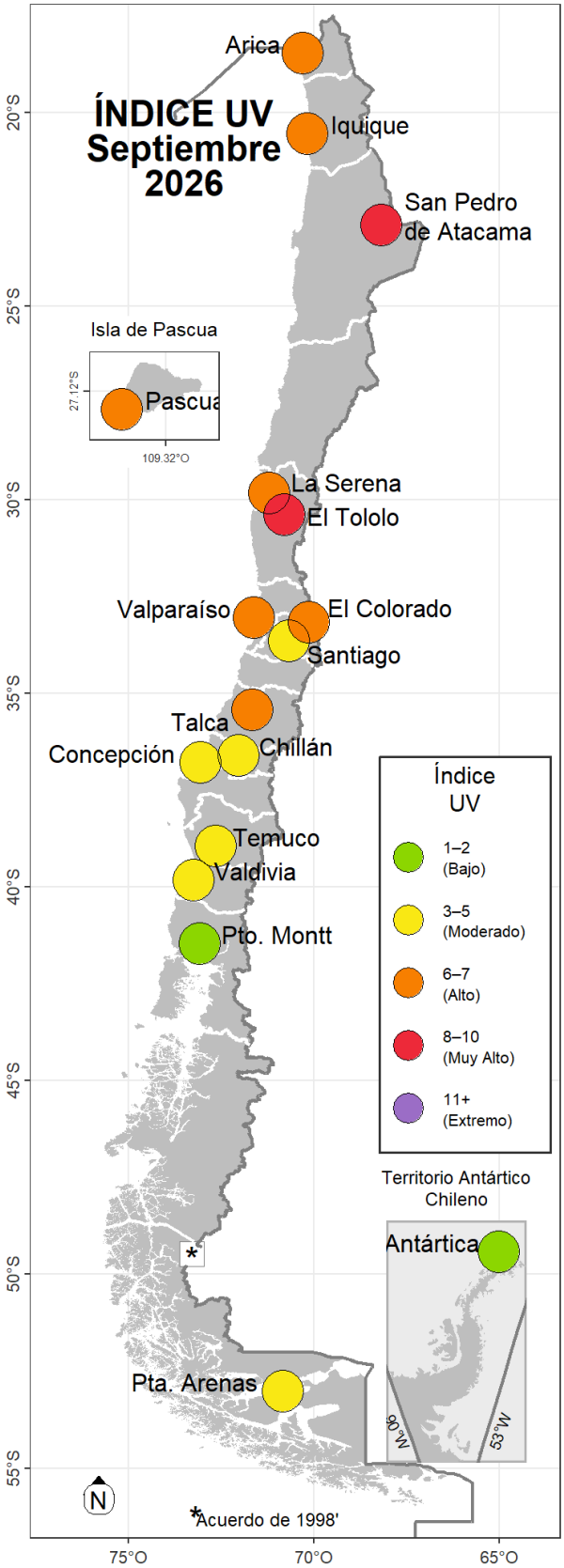


Figura 14. Promedio mensual de Índice Ultravioleta para septiembre de 2026. Fuente: Oficina de Servicios Climáticos, DMC.

En septiembre (Figura 14), las estaciones de San Pedro de Atacama y El Tololo promediaron valores correspondientes a la categoría Muy Alto (entre 8 y 10 unidades). Desde Arica hasta Talca, incluyendo Isla de Pascua, los registros se ubicaron en la categoría Alto (entre 6 y 7 unidades). Santiago, Chillán, Concepción, Temuco, Valdivia y Punta Arenas registraron promedios en el rango Moderado (entre 3 y 5 unidades). En Puerto Montt y Antártica, los promedios se mantuvieron en la categoría Bajo (entre 1 y 2 unidades).

La Figura 15 muestra los valores máximos del Índice UV (IUV) registrados durante el mes. San Pedro de Atacama y El Colorado alcanzaron un máximo de 11 unidades de IUV. Por su parte, las estaciones comprendidas entre Iquique y Valparaíso registraron valores máximos en la categoría Muy Alta, con valores entre 8 y 10 unidades de IUV. En Arica, Santiago, Talca, Concepción, Temuco y Valdivia, los valores máximos se situaron entre 6 y 7 unidades de IUV, mientras que, en Chillán, Puerto Montt, Punta Arenas y Antártica variaron entre 3 y 5 unidades de IUV.

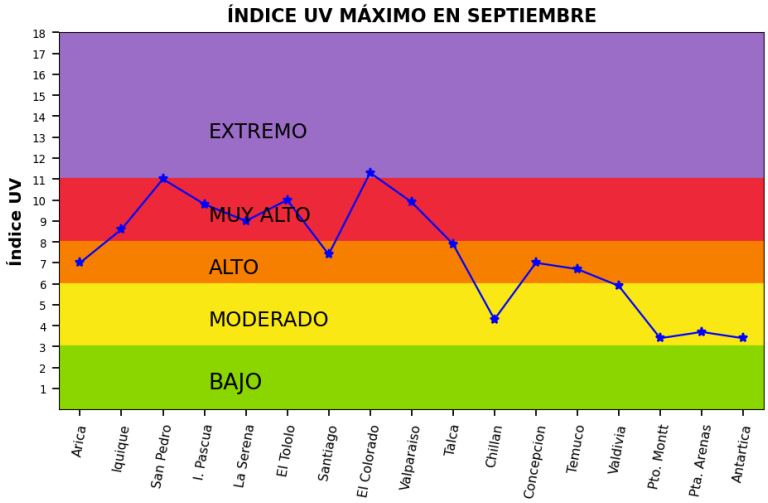


Figura 15. Valores máximos de Índice Ultravioleta registrados durante el mes de septiembre para las principales ciudades de Chile. Fuente: Oficina de Servicios Climáticos, DMC.

Olas de Frío

La figura 16 muestra las temperaturas mínimas extremas asociadas a eventos de Ola de Frío (OF) registrados en las principales estaciones de monitoreo durante septiembre de 2026.

Durante septiembre, se registraron eventos de olas de frío (OF) en las zonas sur y austral del país. Las estaciones de Mocopulli y B. O'Higgins presentaron dos episodios cada una. En Mocopulli, las temperaturas mínimas extremas promedio fluctuaron entre −4 °C y 0 °C, en cambio, en la estación B. O'Higgins registraron valores que oscilaron entre −24 °C y −20 °C. Por su parte, Alto Palena y Balmaceda registraron un episodio cada una, con temperaturas mínimas extremas promedio dentro de los rangos de −4 °C a 0 °C y de −12 °C a −8 °C, respectivamente.

Para monitorear las Olas de Frío en Chile durante el transcurso de los meses del año, puede ingresar a la siguiente página web "Monitoreo de Olas de Frío".

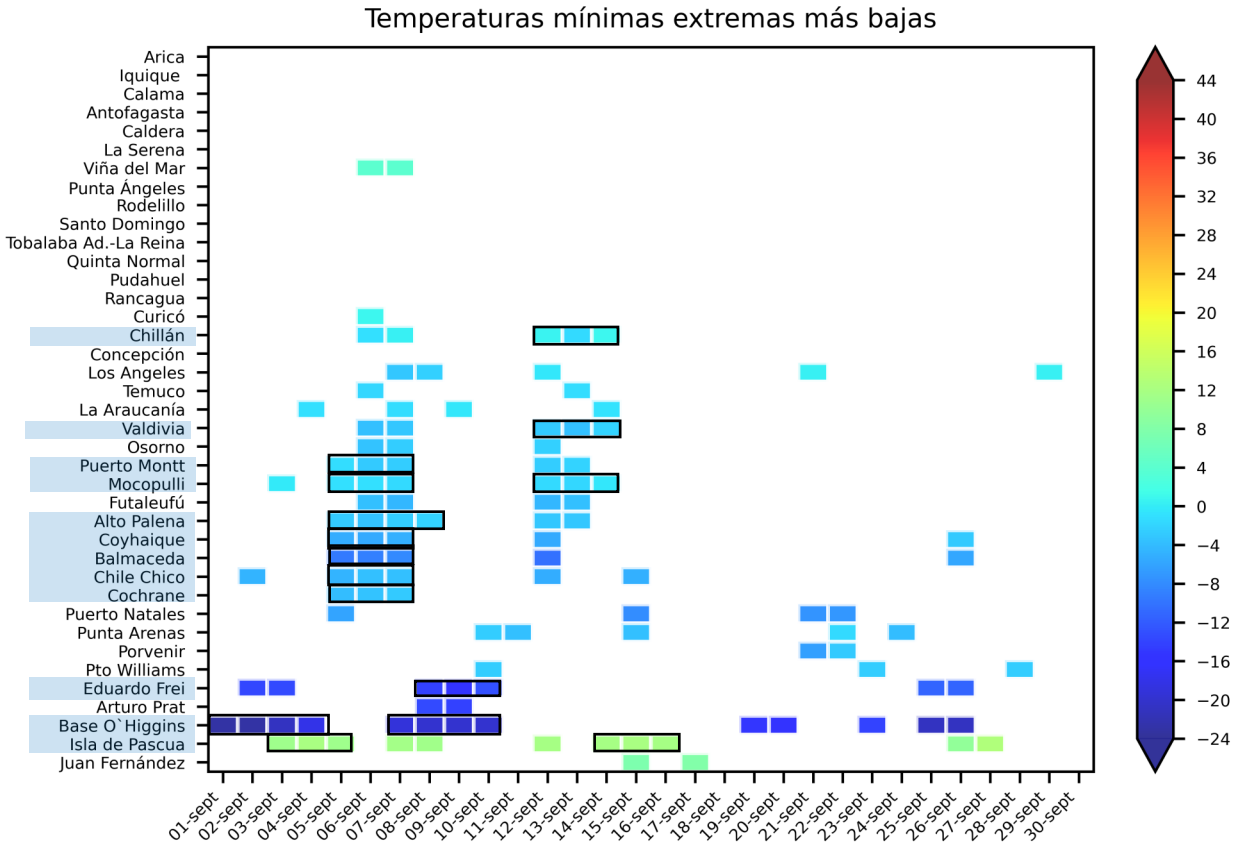


Figura 16. Temperatura mínima extrema diaria (percentil 10; período 1991-2020) de las principales estaciones de monitoreo de Chile, durante septiembre de 2026. Fuente: DMC.

Olas de Calor

La figura 17 muestra las temperaturas máximas extremas asociadas a eventos de Ola de Calor (OC) registrados en las principales estaciones de monitoreo durante septiembre de 2026.

Respecto de la figura, se registraron episodios de olas de calor (OC) en las zonas norte, centro y sur del país. En particular, las estaciones de Arica e Iquique presentaron un evento de OC, con una duración de 30 días y temperaturas máximas extremas promedio dentro del rango de 20 °C a 24 °C. Por su parte, Antofagasta registró tres episodios, con una duración total de 24 días y temperaturas máximas promedio dentro del mismo rango. Asimismo, Caldera y La Serena presentaron dos eventos de OC, con duraciones de 16 y 14 días, respectivamente, manteniendo valores promedio de temperatura máxima dentro del rango señalado.

Para monitorear las Olas de Calor en Chile durante el transcurso de los meses del año, puede ingresar a la siguiente página web "Monitoreo de Olas de Calor (diurna)".

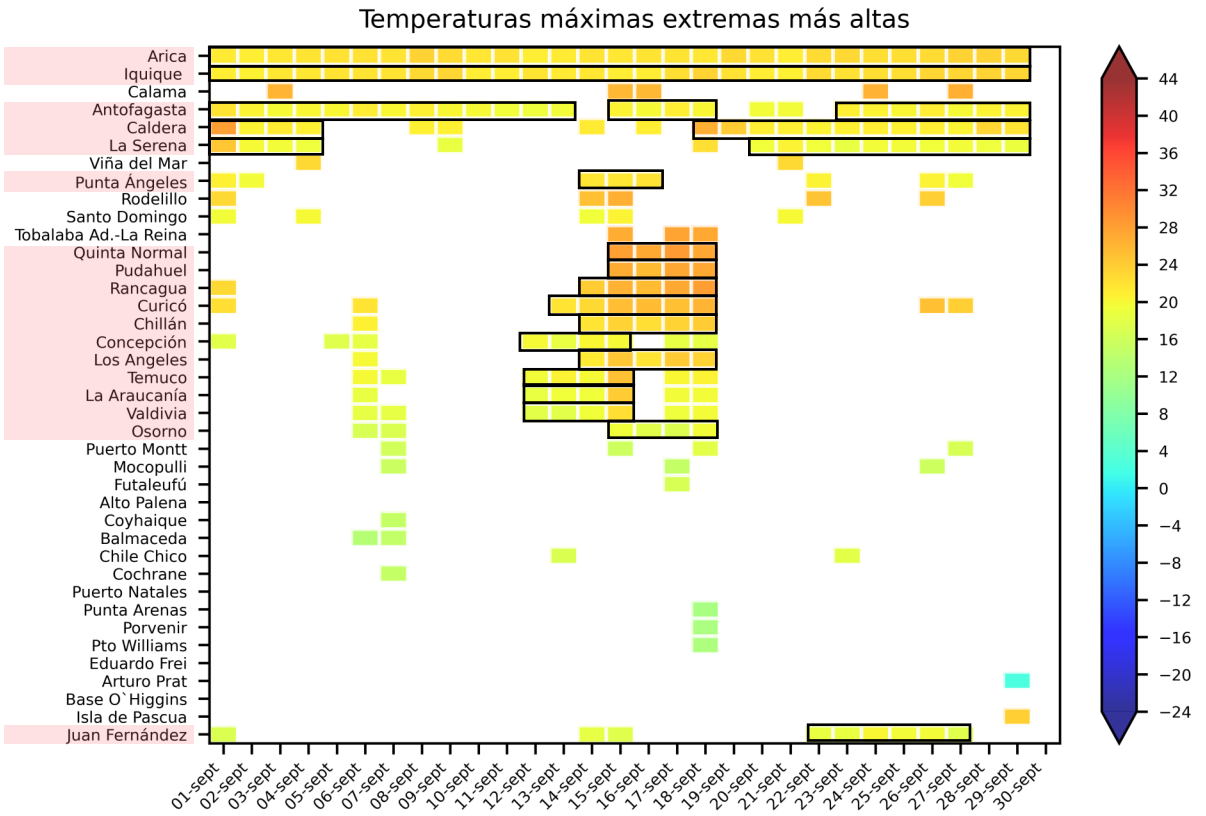


Figura 17. Temperatura máxima extrema diaria (percentil 90; período 1991-2020) de las principales estaciones de monitoreo de Chile, durante septiembre de 2026. Fuente: DMC.

Ola de Calor Nocturna en Iquique

En lo que va de 2026, la zona norte del país ha registrado un elevado número de días con Olas de Calor Nocturnas (OCn), destacando los registros de la estación meteorológica de Iquique. Pero ¿qué es exactamente este evento?

Una Ola de Calor Nocturna se define como un período de tres días consecutivos o más en el que las temperaturas mínimas diarias igualan o superan un umbral considerado extremo para cada día del año. Este umbral se determina a partir del percentil 90 de las temperaturas mínimas diarias del período climatológico de referencia 1991-2020.

Las OCn pueden ocurrir durante todo el año; sin embargo, adquieren especial relevancia durante el verano, cuando las altas temperaturas nocturnas pueden dificultar el descanso y reducir el alivio térmico habitual durante la noche.

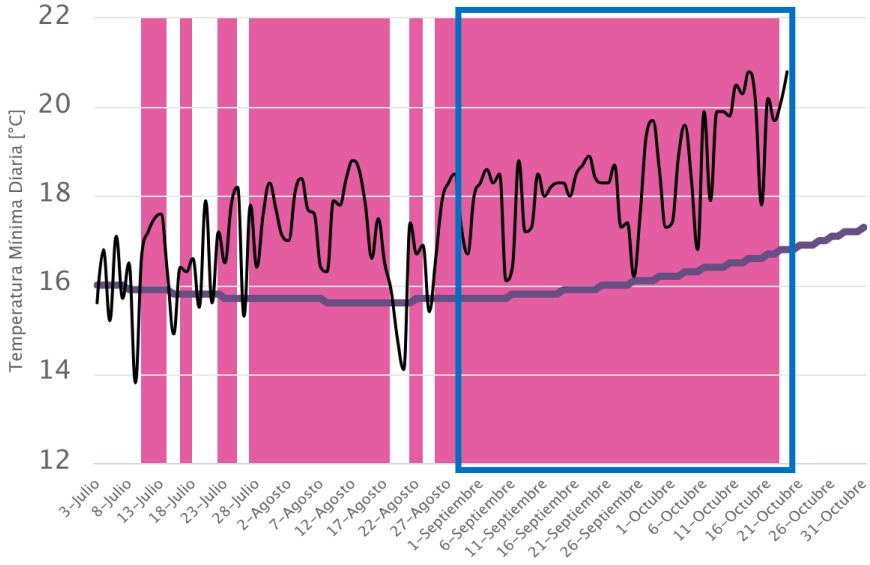


Figura 18. Gráfica de monitoreo de la temperatura mínima diaria de los últimos 90 días y los periodos de ocurrencia de eventos de olas de calor (nocturna). La curva negra corresponde a la temperatura mínima diaria observada y la curva lila representa el umbral diario para determinar una ola de calor (percentil 90). Fuente: Dirección Meteorológica de Chile.

El monitoreo de los últimos 90 días de Olas de Calor Nocturnas en la estación Diego Aracena de Iquique registró seis eventos desde mediados de julio de 2026. Entre ellos, destaca el período comprendido entre el 25 de septiembre y el 19 de octubre (recuadro azul, Fig. 18).

A la fecha, este evento acumula 56 días con condiciones de Ola de Calor Nocturna, por lo que se mantiene un monitoreo diario de su evolución y de los registros de temperatura mínima en la estación de Iquique.

Debido a su prolongada duración, este evento se convirtió en la Ola de Calor Nocturna más Larga registrada en la estación Diego Aracena de Iquique desde el inicio de los registros históricos, en 1970.

En cuanto a los registros de temperatura, a la fecha se registra una temperatura mínima promedio de 18.5 °C, mientras que la temperatura mínima más alta se observó el 5 de septiembre de 2026, alcanzando los 16.1 °C. No obstante, el monitoreo se mantiene de forma diaria.

Tabla 2. Se presentan las fechas de inicio y término del evento de Ola de Calor Nocturna registrado en la estación Diego Aracena de Iquique, junto con su duración en días, la temperatura mínima promedio y la temperatura mínima más alta alcanzada. Actualmente, el evento continúa bajo monitoreo diario para evaluar su evolución y duración.

Fecha de inicio del Evento	Fecha de término del Evento	Días del Evento	Temperatura Mínima Promedio	Temperatura Mínima más Alta registrada
25 de agosto	22 de octubre	59	18.5 °C	20.8 °C (19-10-2026)

Alta presión o anticiclón

Región donde la presión atmosférica es relativamente más alta en comparación a las regiones vecinas. Normalmente sobre los anticiclones el aire desciende. lo cual inhibe la formación de nubes en los niveles medios y altos de la atmosfera. Por esto un régimen anticiclónico se asocia a “buen tiempo”. Por efecto de la rotación de la Tierra. en la zona de un anticiclón el aire circula alrededor del núcleo de máxima presión. en el sentido de los punteros del reloj en el Hemisferio Norte. y en dirección contraria en el Hemisferio Sur. (Definición: DGF Universidad de Chile).

Anomalía

Diferencia del valor observado respecto al valor medio. Valores positivos indica sobre el valor normal. Valores negativos indica bajo el valor normal.

Baja presión o ciclón

Zona donde la presión es menor que en los alrededores y los vientos giran en el sentido del reloj en el hemisferio sur. Esta asociado a tiempo inestable y cielos mayoritariamente nublados.

Evento Meteorológico o Climatológico Extremo

Los eventos extremos es un momento y lugar en el que las condiciones meteorológicas, climáticas o ambientales (como la temperatura, las precipitaciones, las sequías o las inundaciones) superan un valor umbral cercano a los límites superior o inferior del rango de mediciones históricas. Si bien el umbral es subjetivo, algunos científicos definen los eventos extremos como aquellos que ocurren en el 5% o 10% más alto o más bajo de las mediciones históricas. En otras ocasiones, describen los eventos según su distancia a la media, su intervalo de recurrencia o su probabilidad (Defincón: NOAA, Climate.gov).

Evento Meteorológico o Climatológico Significativo

Los fenómenos meteorológicos significativos se caracterizan por su poca frecuencia, fenómenos inusuales en un lugar, que ocurren pocas veces, sin embargo, no posee un registro cuantitativo.

Geopotencial

Es el potencial de la fuerza de gravedad terrestre. (Definición: DGF Universidad de Chile).

Índice UV

El índice UV o IUV es una medida sencilla de la intensidad de la radiación ultravioleta proveniente del sol. sobre la superficie terrestre. aplicable y definida para un área horizontal. Su formulación se basa en el espectro de acción de referencia de la Comisión Internacional sobre Iluminación (CIE) para el eritema (enrojecimiento) o respuesta inflamatoria de la piel humana. inducido por la radiación UV (ISO 17166:1999/CIE S007/ E-1998).

Ola de Calor

Es el período de tiempo en el cual las temperaturas máximas diarias superan o igualan un umbral diario considerado extremo. por tres días consecutivos o más. Este umbral diario corresponde al percentil 90 de distribución para el periodo 1991-2020 y solo en algunas estaciones se ha utilizado un período climatológico diferente debido a ausencia de datos.

Ola de Calor Nocturna

Es el periodo de tiempo en el cual las temperaturas mínimas diarias igualan o superan al umbral diario considerado extremo, por tres días consecutivos o más. Este umbral diario corresponde al percentil 90 de distribución, para el periodo 1991-2020. Solo en algunas estaciones se ha utilizado un periodo climatológico diferente debido a datos faltantes dentro de la serie de la estación.

Ola de Frío

Es el período de tiempo en el cual las temperaturas mínimas diarias son inferiores o igualan un umbral diario considerado extremo, por tres días consecutivos o más. Este umbral diario corresponde al percentil 10 de distribución para el periodo 1991-2020 y solo en algunas estaciones se ha utilizado un período climatológico diferente debido a ausencia de datos.

Percentil

Es una medida de posición usada en estadística que indica. una vez ordenados los datos de menor a mayor. el valor de la variable por debajo del cual se encuentra un porcentaje dado de observaciones en un grupo de observaciones.

Radiación UV-B

La radiación UV-B o “Burning” (que quema). se compone por el rango espectral que se encuentra entre las longitudes de onda que varían entre 280 y 320 nm. es decir. posee mayor energía que la radiación UV-A. Los rayos UV-B llegan a la Tierra bastante atenuados por la capa de ozono; son sensibles a las condiciones meteorológicas y cambios en la concentración de ozono. Conocida también como Radiación ultravioleta biológica. puede ocasionar daños agudos ya que penetra a nivel epidérmico. Para la salud humana. tiene efectos de corto y largo plazo. En el corto plazo produce eritema (enrojecimiento. quemaduras y aparición de ampollas). En el largo plazo. dado que su efecto es acumulativo. puede ser responsable de melanomas y otros canceres cutáneos. cataratas en los ojos y debilitamiento del sistema inmunológico. Representa solo el 5% de la radiación UV y el 0.25% de toda la radiación solar que llega a la superficie de la Tierra. Es un potente germicida.

Río Atmosférico (RA)

Son largos y angostos corredores de flujo horizontal de vapor de agua que salen desde las zonas tropicales y que viajan por miles de kilómetros. Se ven como grandes filamentos o brazos de humedad que se desprenden desde la zona tropical hacia latitudes mayores. en ambos hemisferios.

Temperatura Extrema

Temperatura más alta o más baja alcanzada en un intervalo de tiempo dado.

Temperatura Superficial del Mar (TSM)

Es una medida de la energía debida al movimiento de las moléculas en la capa superior del océano.

Unidad estandarizada (u.e)

Unidad que permite comparar variables independiente de su media climatológica.

UTC

Universal Time Coordinated; en español, Tiempo Coordinado Universal.

ABREVIATURAS

Anom. Anomalía.

ha: Hectárea.

H.L.: Hora Local (UTC-4; horario invierno) (UTC-3; horario verano).

hPa: Hectopascal. esta es una unidad de presión.

IUV Índice Ultra Violeta.

km /h: Kilómetro por hora.

kt: Nudos.

mgp: metrogeopotencial.

mm: Milímetros.

MP 2.5: Material Particulado 2.5 µm.

msnm: Metros sobre el nivel medio del mar.

OC: Ola de calor.

OCn: Ola de Calor Nocturna

OF: Ola de frío.

u.e.: Unidades estandarizadas.

UTC: *Universal Time Coordinated*; en español. Tiempo Coordinado Universal.

Nota Técnica

Respecto a los límites y fronteras oficiales. el esquicio general puede ser descargado desde https://difrol.gob.cl/download/esquicio-chile-pdf/ . Para mayores detalles está disponible el acceso al geoportal https://difrol.gob.cl/mapas/ , desde el menú IDE-DIFROL.

Está nota técnica corresponde por los límites limítrofes y puede variar

ANEXOS

Climatología (1991-2020)

Temperatura del aire °C

Estaciones	Máxima Media			Mínima Media			Temperatura Media		
	Septiembre	Promedio	Anom. (°C)	Septiembre	Promedio	Anom. (°C)	Septiembre	Promedio	Anom. (°C)
Arica	22,1	18,9	3,2	18,5	15,2	3,3	20,3	17,1	3,2
Iquique	22,0	18,5	3,5	18,1	14,4	3,7	20,1	16,5	3,6
Calama	24,4	23,4	1,0	3,7	1,2	2,5	14,1	12,3	1,7
Antofagasta	20,1	17,4	2,7	16,3	12,9	3,4	18,2	15,2	3,0
La Serena	18,6	16,4	2,2	10,9	8,9	2,0	14,8	12,6	2,1
Valparaíso	18,2	15,8	2,4	11,2	10,2	1,0	14,7	13,0	1,7
Santiago QN	22,1	20,1	2,0	8,3	6,8	1,5	15,2	13,5	1,7
Curicó	20,0	17,8	2,2	7,9	5,8	2,1	14,0	11,8	2,1
Chillán	17,6	17,0	0,6	5,1	5,1	0,0	11,4	11,1	0,3
Concepción	16,5	15,6	0,9	8,3	6,2	2,1	12,4	10,9	1,5
Temuco	16,5	15,5	1,0	4,5	4,3	0,2	10,5	9,9	0,6
Valdivia	15,7	14,8	0,9	3,6	4,1	-0,5	9,7	9,4	0,2
Osorno	14,7	14,1	0,6	4,2	4,0	0,2	9,5	9,0	0,4
Puerto Montt	13,3	12,9	0,4	4,3	4,1	0,2	8,8	8,5	0,3
Coyhaique	11,2	11,5	-0,3	1,2	2,2	-1,0	6,2	6,9	-0,7
Balmaceda	10,0	10,2	-0,2	-0,7	0,3	-1,0	4,7	5,2	-0,6
Punta Arenas	7,7	8,3	-0,6	1,1	1,4	-0,3	4,4	4,8	-0,4
Isla de Pascua	21,5	21,6	-0,1	15,0	15,7	-0,7	18,3	18,7	-0,4
J. Fernández	16,5	15,1	1,4	10,6	10,3	0,3	13,6	12,7	0,9

Precipitación Total Mensual (mm)				
Estaciones	Septiembre	Promedio	Anom. (mm)	%
Putre	2,9	0,8	2,1	263
Arica	0,7	0,3	0,4	133
Iquique	s/p	0,0	0.0	-100
Calama	0,4	0,1	0,3	300
Antofagasta	0,0	0,2	-0,2	-100
La Serena	1,4	4,2	-2,8	-67
Valparaíso	0,9	25,0	-24,1	-96
Santiago	0,9	25,3	-24,4	-96
Curicó	14,2	46,5	-32,3	-69
Chillán	98,9	70,1	28,8	41
Concepción	186,2	77,2	109,0	141
Temuco	169,6	86,4	83,2	96
Valdivia	211,6	123,4	88,2	71
Osorno	122,6	89,5	33,1	37
Puerto Montt	104,0	115,5	-11,5	-10
Coyhaique	49,0	61,1	-12,1	-20
Balmaceda	44,7	31,5	13,2	42
Punta Arenas	19,2	24,5	-5,3	-22
Isla de Pascua	88,0	97,3	-9,3	-10
J. Fernández	61,5	80,2	-18,7	-23